

K8534

D. XI.

19/




22101853366



20.c.265

Med  
K8534



Digitized by the Internet Archive  
in 2016

<https://archive.org/details/b28113548>

# ATLAS

BEHOORENDE BIJ DE

HANDLEIDING DER PHYSIOLOGIE

in gebruik bij het

ONDERWIJS AAN DE SCHOOL

VOOR

INLANDSCHE GENEESKUNDIGEN.





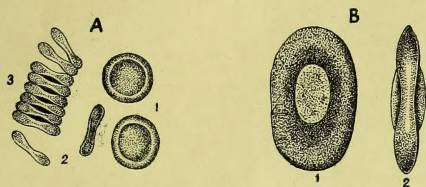
42600 / 31111



31 262 633

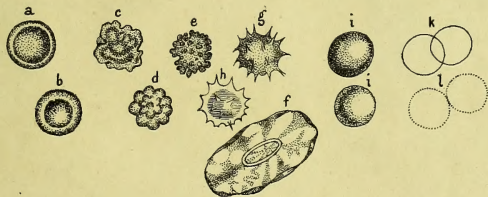
WELLCOME INSTITUTE LIBRARY	
Coll.	welMOmec
Call	
No.	QT

Fig. 1.



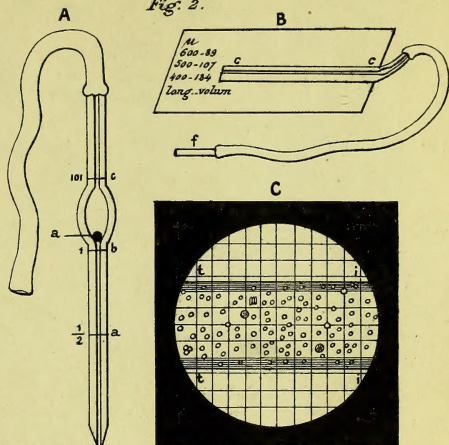
- A** Roode bloedcellen van den mensch.  
 1 op het vlak; 2 op de kant gezien;  
 3 als gebroken tegen elkander gelegen.  
**B** Roode bloedcellen van den kikvorsch;  
 1 op het vlak; 2 op de kant gezien.-

Fig. 3.



- Vormveranderingen der roode bloedcellen.  
 a b Onveranderde roode menschelyke bloedcellen.  
 c d e g en h Doornappel en sterovormig veranderde roode bloedcellen.  
 i Stoma.  
 f Ploovering in geschrompelde roode bloedcellen van den kikvorsch na wateronttrekking.-

Fig. 2.



- Werkwijze van Malassez tot reuking der bloedcellen.  
**A** Pipet. **B** Haarbuigje. **C** Het  
 haarbuigje met verdund bloed gevuld door het  
 mikroskoop gezien.-

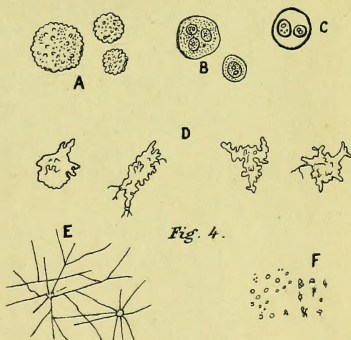


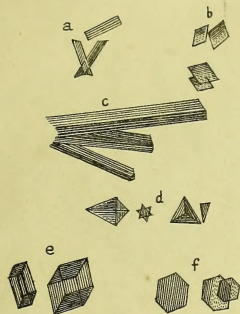
Fig. 4.

- Lymphoïde cellen of witte bloedcellen.  
**A** Onveranderde bij den mensch. **B** Na toevoeging van water. **C** Na toevoeging van azijnzuren.  
**D** Amoëbide cellen uit het bloed van den kikvorsch in verschillende tijdspeken van beweging.  
**E** Fibriedraden uit gestold bloed. **F** Elementair korreltjes.-





Fig. 5.



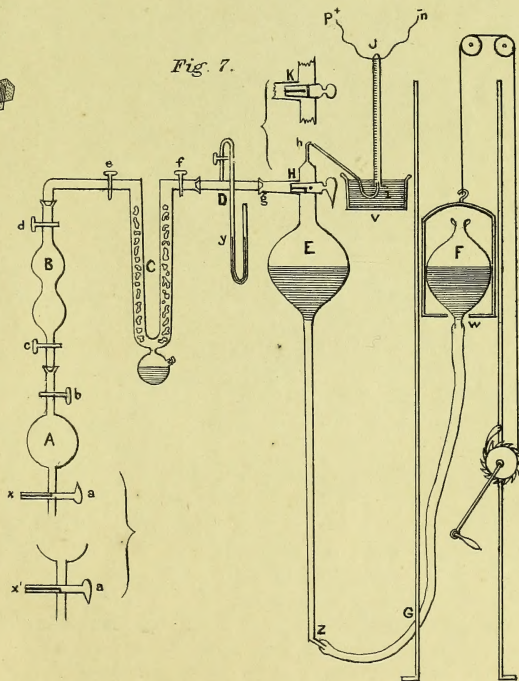
Haemoglobine kristallen.  
a. b. van den mensch.  
c. van de kat.  
d. van den doſſijn.  
e. van de marmot.  
f. van het eekhoornſje.

Fig. 6.



A Haemine kristallen (Chlorhaemate) in verſchillende vormen.  
B Kristallen van Haemotoxine.

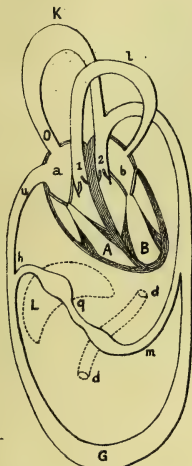
Fig. 7.



Schema van het apparaat van Pfuger tot uitpomping der bloedgassen.



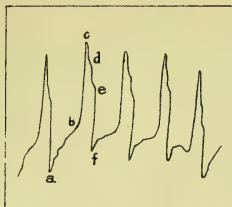
*Fig. 8.*



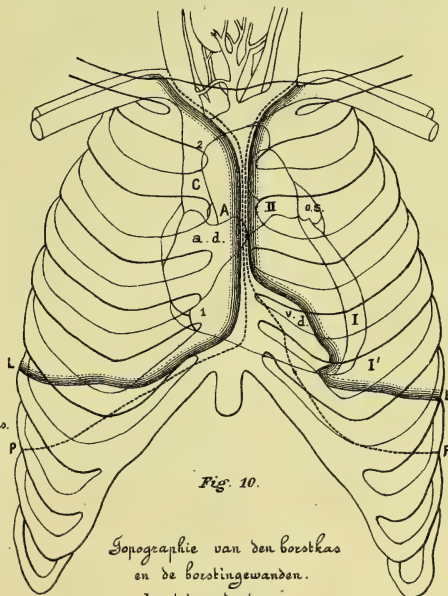
Schema van den bloedsomloop.

- a atrium dextrum.  
A ventriculus dexter.  
b atrium sinistrum.  
B ventriculus sinister.  
1 art: pulmonalis.  
1 arteria aorta met de valvulae semilunaris.  
l kleine bloedsomloop.  
K groote bloedsomloop. (bovenste gedeelte).  
O bovenste hollte ader.  
G groote bloedsomloop. (onderste gedeelte).  
u onderste hollte ader.  
d, d darmkanaal.  
m darmmagaad.  
q poortader.  
L lever.  
L leveraderen.  
o.s. auricul  
de punt

*Fig. 9.*



Normale curve van den  
hartstoot van den mensch.



*Fig. 10.*

Topographie van den borstkas  
en de borstingewanden.

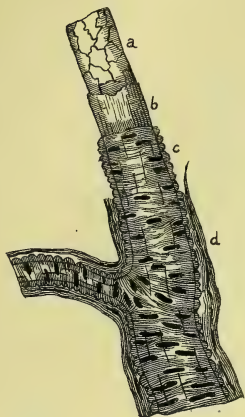
a, d atrium dextrum.

o.s. *auricula* oiniotbra. v d *ventriculus dexter*. I *ventriculus sinister* met de punt van het hart I'. A *aorta*. II *arteria pulmonalis*. C *vena cava superior*. LL grenzen van de longen. PP grenzen van de pleura parietalis.



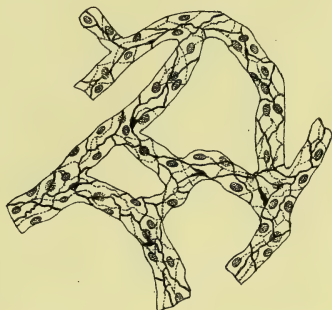


*Fig. 11.*



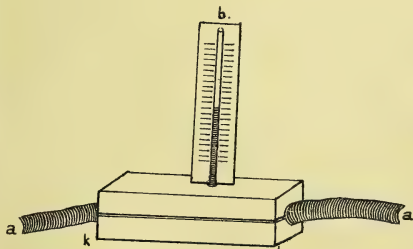
Klein slagaderstakje.  
 a endothelium.  
 b intima.  
 c kringvormige spierlaag.  
 d adventitia.

*Fig. 12.*



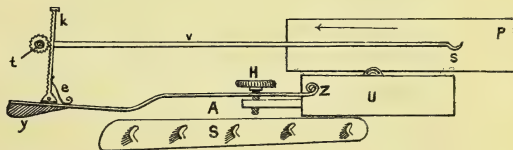
Haarvaten waarbij de grenzen der  
 cellen door argentum nitricum  
 zwart zijn gekleurd.

*Fig. 13.*



Nietkruig van Poiseuille.  
 aa de slagader.  
 kk het kastje met de schaal v.

*Fig. 14.*

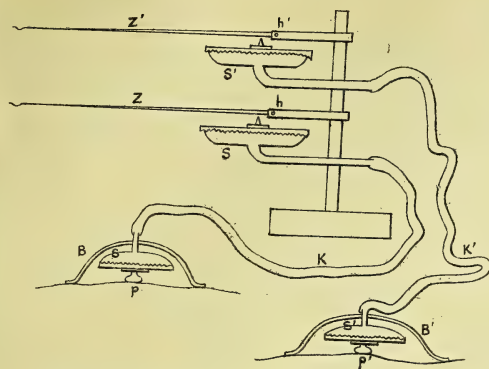


Sphygmograaf van Marey.



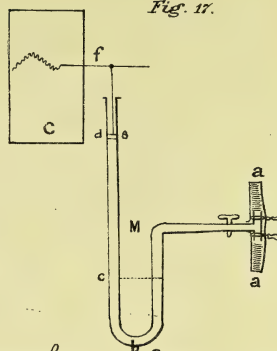


Fig. 15.



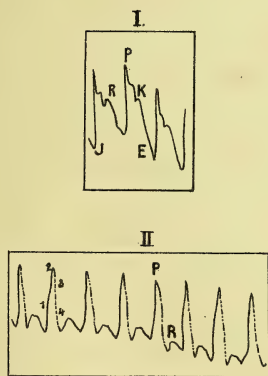
Panphygmograaf van Brondgeest.

Fig. 17.



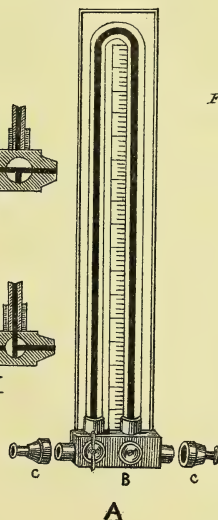
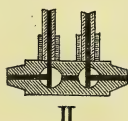
Kymographium van Ludwig.  
C Stommel f. schrijven d.s. drijvertje  
M manometer aa slagader.

Fig. 16.



I Polocurven vande Arteria carotio.

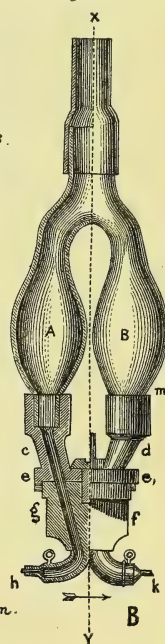
II Pulsus dicrotus van de Arteria radialis.



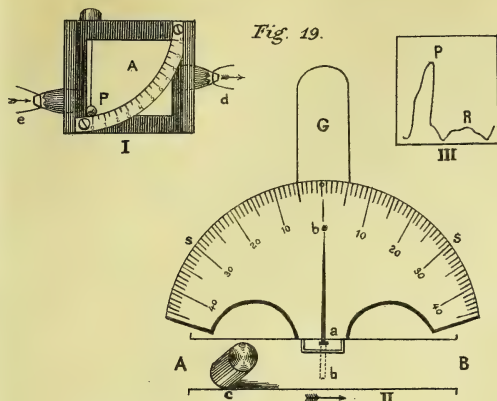
A Haemodromometer van Volkmann.

B Stroomuhr van Ludwig.

Fig. 18.

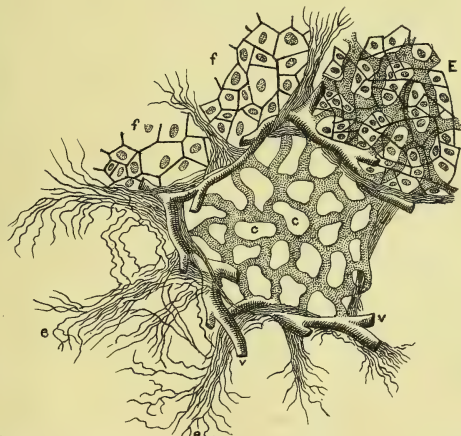






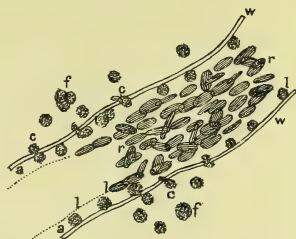
- I Laemotachometer van Visserdt.  
 II Tromograaf van Chauveau  
 III diaphragmatische curve.

Fig. 21.



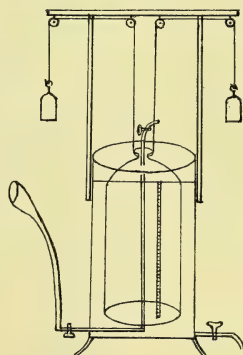
Histologie van de longblaasjes. v.v. bloedvaten aan de grenzen der longblaasjes. c.c. bloedhaavaten van een longblaasje.  
 E verhouding van de ligging der epitheliumcellen van de longblaasjes tot de bloedhaavaten. f.f. epitheliumcellen der longblaasjes.  
 c.c. elastisch weefsel van het longparenchym.

Fig. 20.



Klein bloedvat uit het mesenterium van den kikvorsch gedurende de uittreding van lymphoïdecellen. w.w. vaatwand. a.a. ruimte van Poiseuille. r.r. rode bloedcellen. l.l. langs de wand gelegen lymphoïdecellen. c.c. de zelfde in verschillende perioden van uittreding. f.f. uitgetreden cellen.

Fig. 22

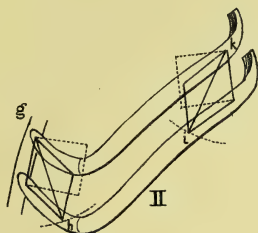
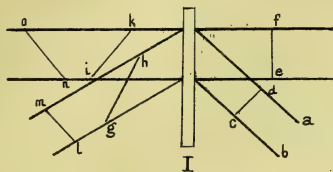


Spirometer van Hutchinson.



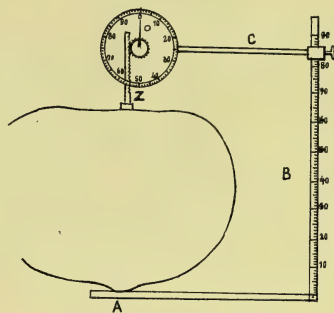


Fig. 23.



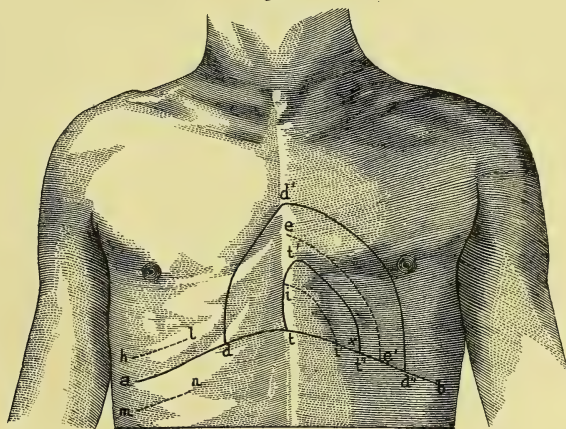
Schema van de werking der  
musculi intercostales.

Fig. 24.



Thorakometer van Sibson.

Fig. 25.

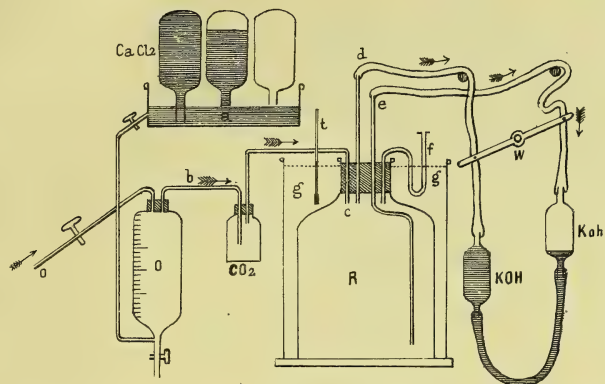


Topographie van de grenzen van de longen en het hart by in- en expiratie. — *a t b* onderste grenzen van de longen in den toestand van rust, *h l* by diepe expiratie, *m n* by diepe inspiratie; *t t' t'* grens der doffe percussie van het hart, *i i'* by diepe inspiratie, *e e'* by diepe expiratie; *d d' d'* grens der gedempte percussie van het hart —



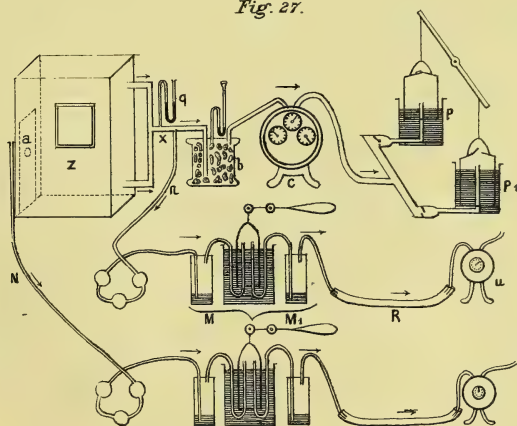


Fig. 26.



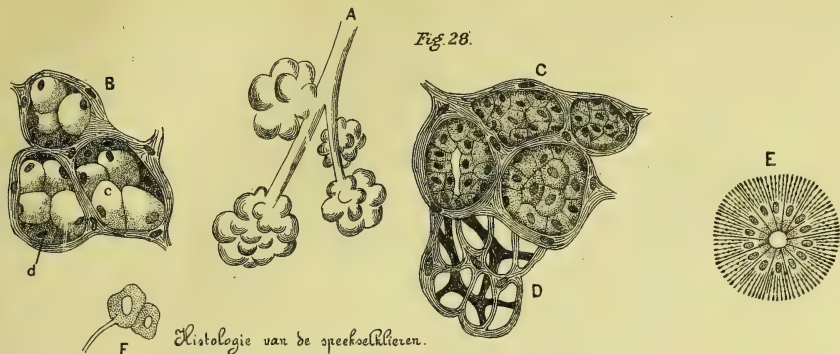
Schema van het respiratieapparaat van Regnault en Reiset ..

Fig. 27.



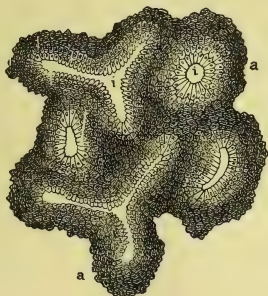
Schema van het respiratieapparaat van von Pettenkofer ..





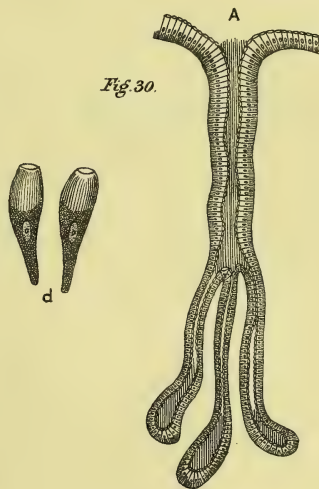
- Histologie van de speekselklieren.*
- A Een gedeelte van de glandula parotis van den hond, met geïsoleerde klierblaasjes en uitlozingsbuizen.
- B Alveolen van de glandula submaxillaris van den hond met c sterk gevulde slijncellen en d halvmajaan, vormige randcellen. (na langdurige rust van de klier).
- C Alveolen van de zelfde klier na levendige werking.
- D Bindweefsel tusschen de klier alveolen.
- E Doorsnede van een speekselbuis met cilinder epitheelium bekleed.
- F Intreding van een meergloore zenuwvezel in eene afscheidende cel.

Fig. 29.



Het maagslijmvlies van den hond.  
ii maaggroefjes;  
aa verhevenheden van het slijmvlies

Fig. 30.

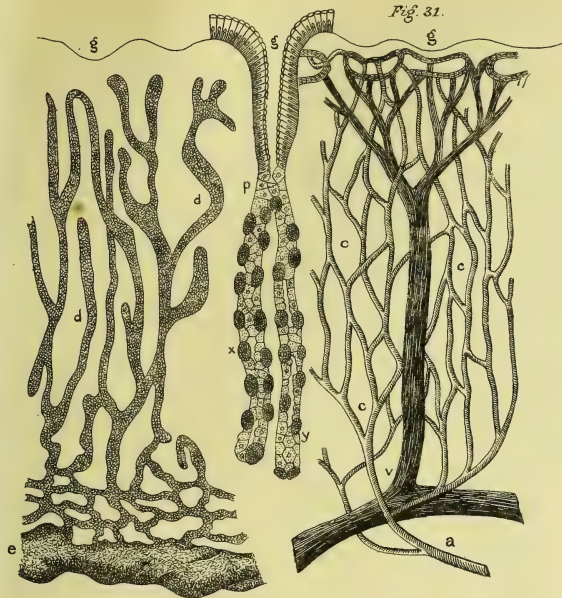


A Geïsoleerde slijmklier uit den streek van den pylorus,  
d geïsoleerde bekerzellen.





Fig. 31.



Vertikale doorsnede van het maagslijmvlies:

g. g. maagcoefsjes;

p. pektlier met

x delomorphe- en

y adelomorphecellen;

a. v. c. slagader en haarvaten van het slijmvlies

d. d. lymphevaten die by

e in een grooten stam overgaan.

Fig. 32

I Schema van een leverkwabje. (Fig. 32)

V. i. V. i. Vena interlobularis; V. c. vena centralis; c. c. haarvaten tusschen deze beiden; V. s. vena sublobularis; V. v. vena vascularis; A. A. takjes van de leverslagader, die zich by r. r. in den capsul van Glisson en in de wanden der grootere vaten begeven, en by i. i. in de haarvaten van de vena interlobularis overgaan. g. Takjes van de galwegen die by x. x. zich als galcapillaria tusschen de lever zelf vertakken. d. d. Ligging van de lever cellen in de maren van het bloedhaarvatennet.

II Geïsoleerde levercellen die by c aan een bloedhaarvat grenzen en by a een galhaarvat vormen.

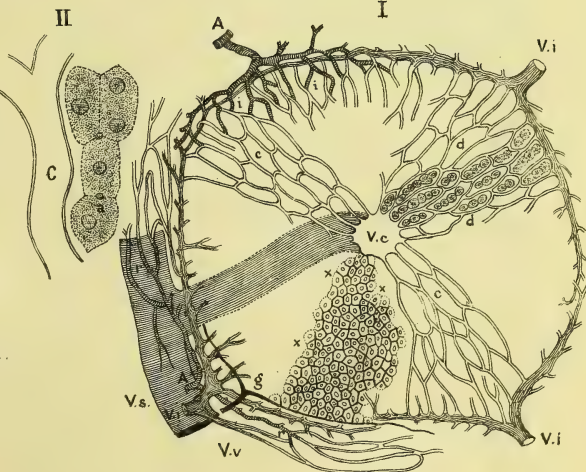
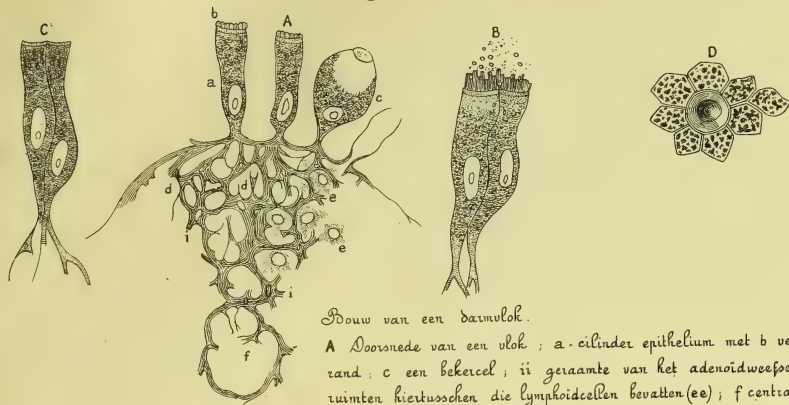




Fig. 33.



Bouw van een darmvlok.

A Doorsnede van een vlok; a. cilinder epithelium met b verdikten rand; c een beker cel; ii geraamte van het adenoidweefsel; dd ruimten hier tusschen die lymphoïde cellen bevatten (ee); f centrale

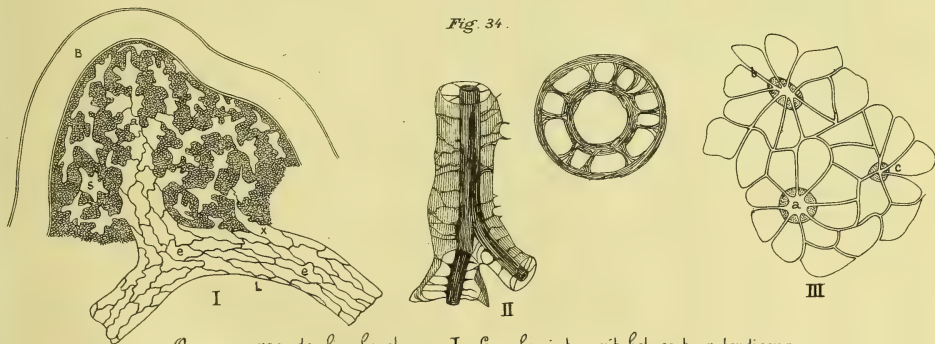
lymphoruimte (dwarsche doorsnede);

B Twee. cilinderepitheliumcellen zooals zij door de op pseudopodien gelijkende uitloopers van het celprotoplasma, by de opneming van geëmulgeerd vet werkzaam zijn.

C Derselbe cellen nadat de opneming van vet is afgelopen.

D Cilinder epitheliumcellen van de oppervlakte af gezien; in het midden een beker cel.

Fig. 34.

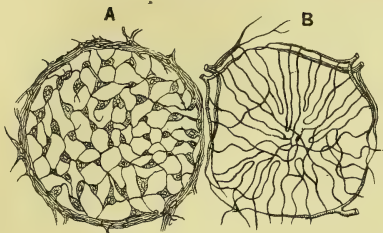


Onsprong van de lymphevaten. I Lympheruimten uit het centrum tendineum van het konijn die by x met een lymphevaat in verbinding staan; a aanvang der lymphevaten door het toekomen der lympheruimten. II Perivasculaire lympheruimten. III Lympho-stomata.





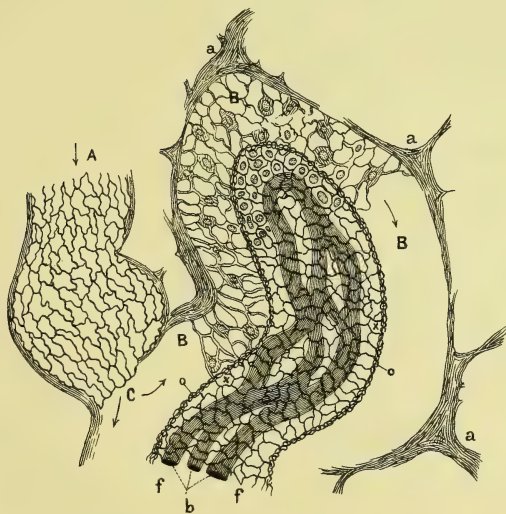
Fig. 35.



Twee Lymphefollikels.

A Het reticulair bindweefsel ; B Bloedvaten .-

Fig. 36.



Gedeelte van een Lympheklier.

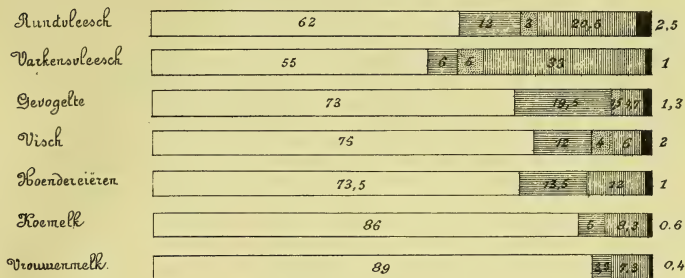
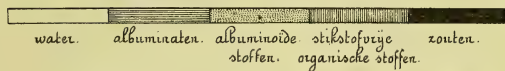
A Vaso afferens ; BB Lympheweg binnen de ruimte van de klier ; aa balken en tuoschenschotten welke deze ruimte begrenzen ; ff folliculairstreng met zijne begrenzing ; oo zijn reticulair weefsel \*x en zijne bloedvaten b .-



Fig. 37.

*Dierlijke voedingsmiddelen.*

Verklaring der teekens:



*Plant aardige voedingsmiddelen.*

Verklaring der teekens:

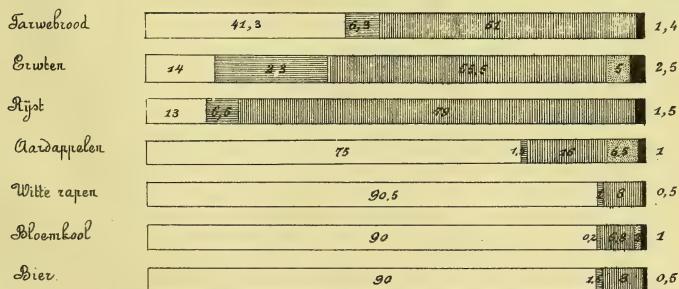
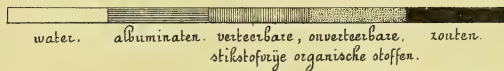
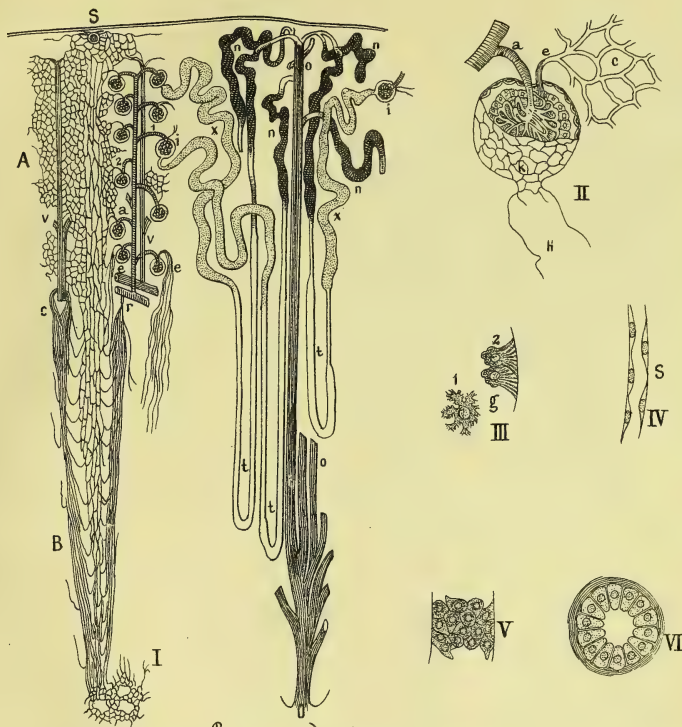






Fig. 38.

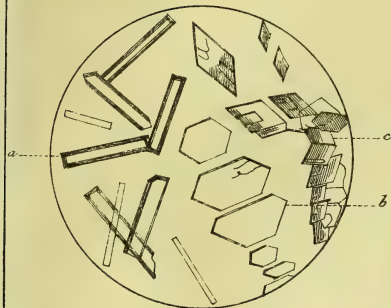


Bouw van de nieren..

- I De vaten en piskanaaltjes. A haarvaten van de baotselfotandigheid; B haarvaten van de mergselfotandigheid; a arteria interlobularis; 1 vas afferens; 2 vas efferens; re arteriolae rectae; a venulae tectae; vv vena interlobularis; S begin van een vena stellata; ii capsol en glomerulus; oo verzamelingsbuizen; O uitloozingsbuis; xx tubuli contorti; tt lussen van Henle..
- II Capsol van Bowman en glomerulus Malpighianus: a vas afferens; e vas efferens; c haarvatennet van de baotselfotandigheid; k endothelium van den capsol; h begin van een gekronkeld piskanaaltje..
- III Epithelium cellen van de gekronkelde piskanaaltjes; 1 van de oppervlakte; 2 van ter zijde gezien..
- IV Epithelium cellen uit de lussen van Henle..
- V Epithelium cellen uit een verzamelingsbuis..
- VI Doorsnede van een uitloozingsbuis.



Fig. 40.



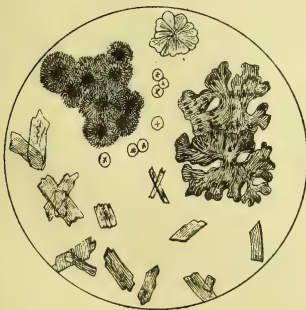
- a. Ureum;  
 b. zeesydige plaatjes en  
 c. kleine schubvormige rhombische  
 plaatjes van salpeterzuur ureum.

Fig. 39.



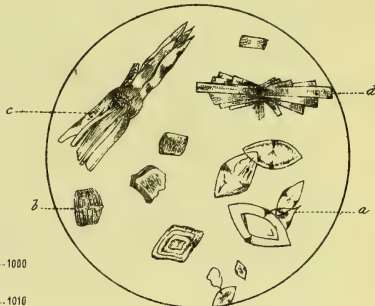
Maatglas.  
 Pycnometer.

Fig. 42.



Kristallen van  
 kreatininechloorzink.

Fig. 41.

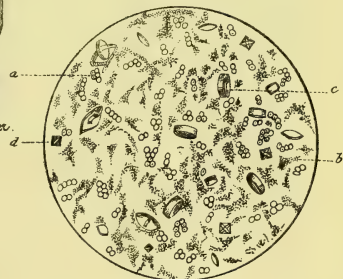


- Purzuur:  
 a rhombische plaatjes (slypsteenvorm);  
 b touwvorm;  
 c verzameling van toespitste kristallen;  
 d roet van slypsteenvormige kristallen.



Aerometer.

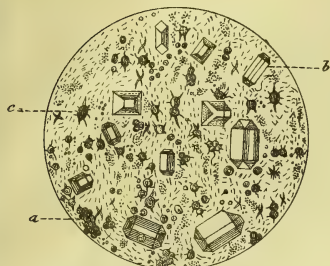
Fig. 43.



- Sediment by de zuure gisting van de pio:  
 a gistingswammen;  
 b amorphezuur piszuur natrium;  
 c piszuur;  
 d zuurzuur calcium.



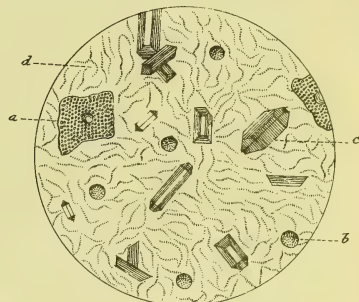
Fig. 44.



Sediment bij ammoniakgisting  
van de pis;

- a. zure piszure ammonium;
- b. phosphorzure ammoniak-magnesia;
- c. bacteriën ..

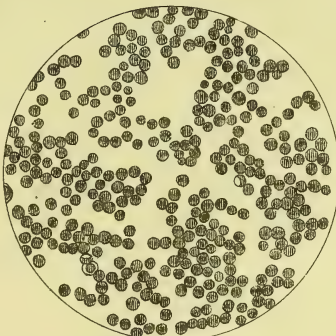
Fig. 45.



Sediment bij Baascatarrh:

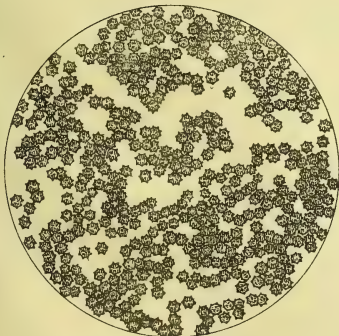
- a. afgestooten epitheliumcellen van  
het blaasotymulio;
- b. ettercellen;
- c. phosphorzure ammoniak-magnesia;
- d. bacteriën ..

Fig. 46.



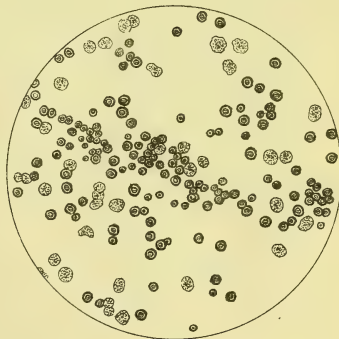
Opgezwollen bloedlichaampjes  
in de urine ..

Fig. 47.



Doornappelvormige bloedlichaampjes  
in de urine ..

Fig. 48.

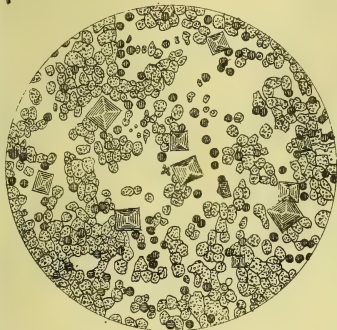


Ongelykvoormige roode, - en witte  
bloedlichaampjes.





Fig. 49.



Rode sterkeingetroochrompelde  
bloedlichaampjes in de urine bij  
blaascatacth tussochen talrijke  
lymphoidcellen en kristallen van  
tripelfosphaaten...

Fig. 51.



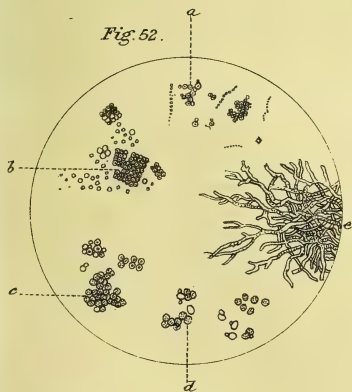
a. Epitheliumcellen van den  
mannelijken pisweg,  
b. van de vagina;  
c. van de prootata;  
d. van de Cowper'sche klieren;  
e van de Bitter'sche klieren;  
f. van den vrouwelijken pisweg.  
g. van de blaas...

Fig. 50.



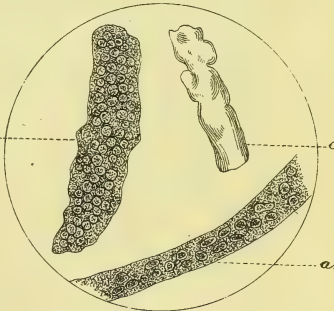
aa. Leucine;  
bb. tyrosine;  
c. piszure ammonium...

Fig. 52.



a. Micrococci in groepjes en kleine ketens;  
b bacilli;  
c zwammen bij de zure gisting der pis; d gistcellen uit  
de pis bij diabetes; e schimmels...

Fig. 53.



a bloedcilinders;  
b gekozvelde cilinders;  
c amyloidcilinders...

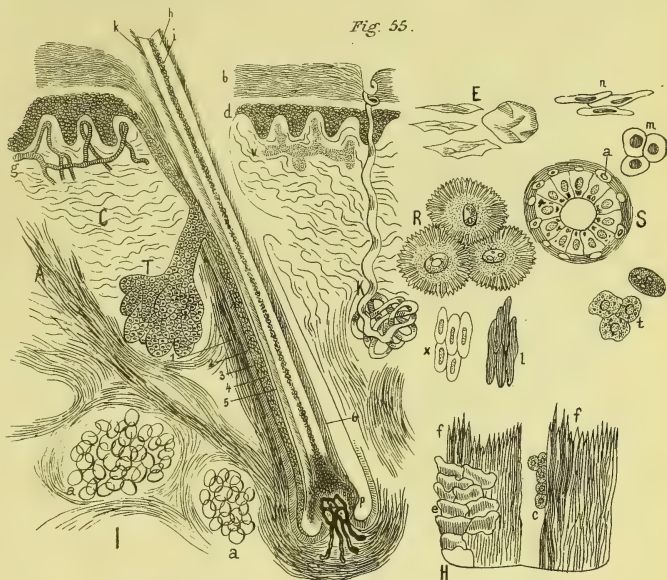


Fig. 54.



Hyaline  
cilinders.

Fig. 55.



Histologie van de huid, de opperhuid en hare aanhangsels. I Doorsnede door de huid met een haar en een smeerklier (T); 1 uitwendig en 2 inwendig vezelachtig vlies van den haarzak; 3 cuticula van den haarzak; 4 uitwendige wortelbloeide; 5 laag van Benle en 6 laag van Buxley van de inwendige wortelbloeide; p haarwortel gevestigd op den vaathoudenden haartepel. A Musculus arrector pili; C Corium; a onderhuidsvetweefsel; b hoornlaag; d laag van Malpighi; g vaten van de huidtepel; v lymphevaten; h haarweefsel; i merghanaal; k epidermis van het haar; K Zweektklier.

E Epidermisschubjes uit de hoornlaag. R Cellen uit de laag van Malpighi; n oppervlakkige en m diepgelegene cellen der nagels.

H Een haar sterk vergroot; e epidermis; c merghanaal met mergcellen en ff vezelcellen van het haarweefsel; x cellen van de laag van Buxley; l cellen van de laag van Benle.

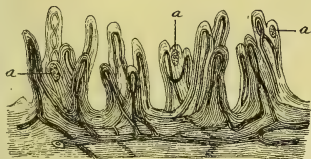
S Doorsnede door een zweektklier der okselholte; a gladde spiervezel en omgeving; t cellen van een smeerklier gedeeltelijk met vet gevuld.



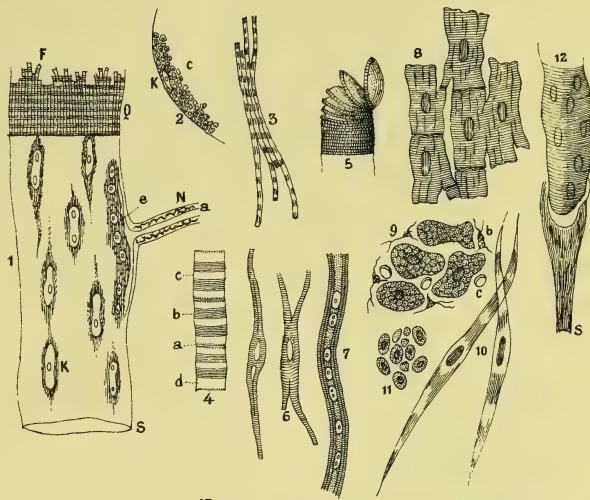


Fig. 57.

Fig. 56.



Huidtepel van hun epidermis  
beroofd en met opgespoten vaten;  
by a een gevoelstempel die een  
lichaampje van Meisner bevat.



Histologie van het spierweefsel.

1 Schema van de samenstellende deelen

van een dwars- gestreepten spiervezel;

S sarkolemma; Q de dwarsche streepen;

F de spierfibrillen en de dwarsche streepen;

K de spierlichaampjes of keinen der spiervezels;

N de bewegengrens met a de ascilinder met  
de eindplaat die op een laag kernhoudend

protoplasma ligt. 2 Deel van een dwars dooronede door een dwars- gestreepten spiervezel met een dichtbij het

sarkolemma gelegen kern K. 3 Geïsoleerde spierfibrillen. 4 Een deel van een spierfibril uit een insecten spier; a de  
lijn die de spierkaasjes van elkaar scheidt; b de donkere dubbelbrekende zelfstandigheid; c de lijn van filansen; d de enkel-  
brekende zelfstandigheid. 5 Een dwars- gestreepte spiervezel in schijven ontkeed. 6 Dwars- gestreepte vezelcellen uit het

hart van den kikvorsch. 7 Vorming van een dwars- gestreepten spiervezel by een menochelyk embryo van drie maanden. 8

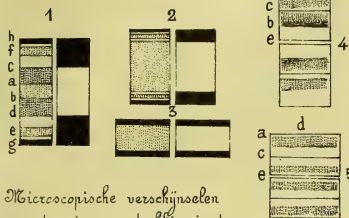
Netvormig tezamenhangende spiervezels van het hart. 9 Dooronede door de harttopier: c haarvaten; b bindweefselcellen.

10 Gladde spiervezelen. 11 Gladde spiervezelen in dooronede. 12 Dwars- gestreepte

spiervezel met de daarbij behoorende losgemaakte pees. 13 Zenuwverspreiding tusschen  
de spierfibrillen.

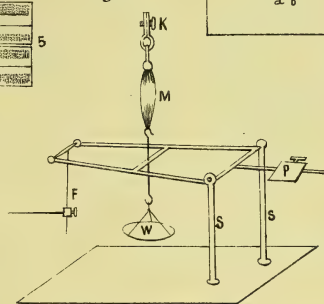


Fig. 58.



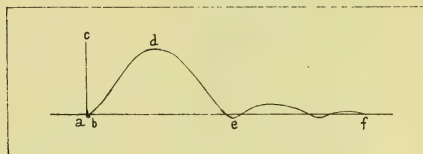
Microscopische verschijnselen van de spiersamentrekking in de elementen der spierfibrillen : 1, 2, 3 volgens Engelmann ; 4, 5 volgens Merkel.

Fig. 59.



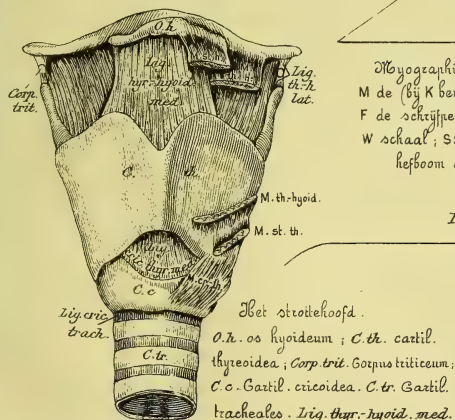
Myographium van Helmholtz.  
M de (bij K bevestigde) spier ;  
F de schrijfsen ; P tegenwigt ;  
W schaal ; SS roeten die den  
hefboom dragen --

Fig. 60.



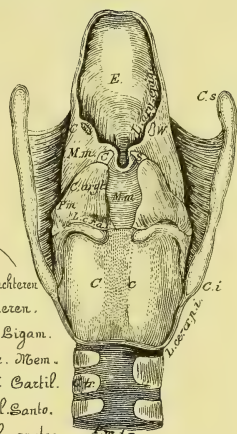
Myographische curve.

Fig. 61.



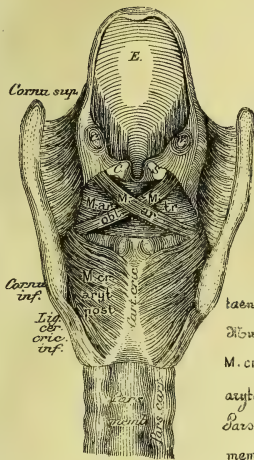
Ligamentum thyreo-hyoideum medium. Lig. th-h. lat. Liga-  
mentum thyreo-hyoideum laterale. Lig. cric-trach.

Ligament. crico-thyreoidum medium. Lig. cric-trach.  
Bigan. crico-tracheale. M.st.h. Musc. sterno-hyoideus.  
M.th-hyoid. Musc. thyreo-hyoideus. M.st.th. Musc.  
sterno-thyreoidus. M.cr.th. Musc. crico-thyreoidus.



Het strottehoofd van achteren na wegneming der spieren.  
E. Epiglottis, L.ar-gr. Ligam. ary-epiglotticum. M.m. Membrana mucosa. C.W. Cartil. Wiesbergii. C.S. Cartil. Santorini. C.ar. Cartil. arytae. noidea. C.c. Cartil. cricoidea. P.m. Processus muscularis. d. Cart. arytaen. L.cr.ar. Ligam. crico-arytaen. C.s. cornu superius. C.i. Cornu inferius d. Cart. thyreoidea. L.co.p.r.i. Ligam. herato-cricoidum. post. inf. C.tr. Cartil. tracheales. P.m.tr. Fars membranacea tracheae --



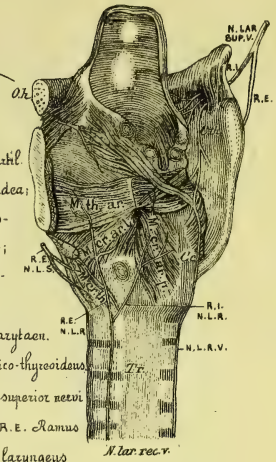


*Fig. 62.*

Strottehoofd met de spieren  
van achteren gezien

*E. Spigelio; C.W. Caril.*  
Weibergii; *C. c. Caril. crico-*  
*dea; Cornu sup. - Cornu*  
*inf. Carilaginis thyroideae;*  
*M. ar. tr. Mousculus aty-*  
*taenoides transversus; Mm. ar. ob.*  
*Mousculi acyrenoides Biqui;*  
*M. cr. arg. post. Mousculus crico-*  
*atytaenoides posticus; Pars cart.*  
*lary cartilaginea; Pars memb. pars*  
*membranacea tracheae. C. p. Caril.*

Santori-nianae.-

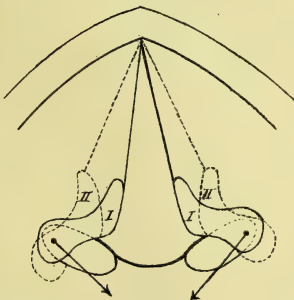


De zenuwen van  
het strottehoofd. —

*Or.* Os hyoideum, *C. th.* Cath.  
thyroidea; *C. cr.* Cath. cricoidea;  
*Tr.* Trachea, *M. th.* ar. Mus-  
culus thyreo-arytaenoides;  
*M. cr.* ar. p. Musculus crico-  
arytaenoides posticus; *M.*  
*cr.* ar. l. Musculus crico-arytae-  
noides lateralis; *M. cr.* th. Musculus crico-thy-  
roideus.

recurrens vagi; R.I.N.L.R. Ramus internus. R.E.N.L.R. Ramus  
externus nervi laryngei recurrentis vagi.

Fig. 63.



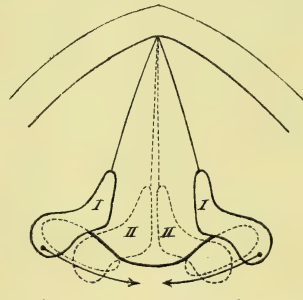
Schematische horizontale doorsnede door het strotkehoofd.

II ligging der bekervormige kraakbeenderen bij rustige ademhaling.

II, II ligging dezer kraakbeenderen bij werking der.

*M. m. crico-arytaenoidei postici.*—

*Fig. 64.*



Schematische horizontale doorsnede door het strottehoofd..

I, I ligging der bekervormige kraakbeenderen by rustige ademhaling..

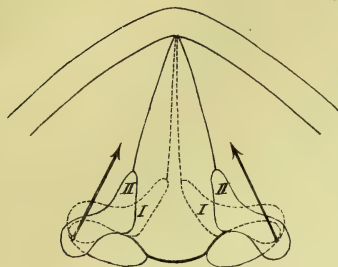
II, II. ligging derer kraakbeenderen bij werking der

*M. m. arytanoidei obliqui* -





Fig. 65.

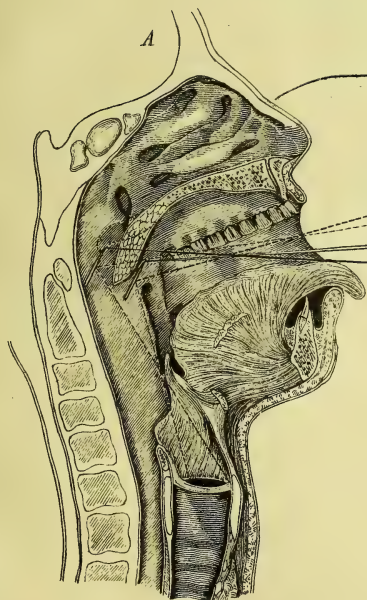


Schematische horizontale doorsnede door het strottehoofd.

II, II. Ligging der bekervormige kraakbeenderen bij rustige ademhaling.

I, I. Ligging derz. kraakbeenderen bij werking der *M. m. thyreo arytaenoides interni*.

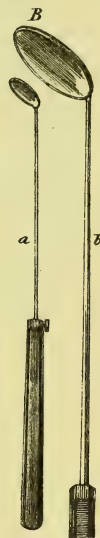
Fig. 66.



A. Verticale doorsnede door het hoofd en de hals tot aan den eersten borstwerfel.

a houding van den keelspiegel wanneer men het achterste gedeelte van de stemoppleet, de bekervormige kraakbeenderen enz. wil zien.

b. houding van den keelspiegel wanneer men het voorste gedeelte van de stemoppleet wil zien.—



B. Grootte en kleine keelspiegel.



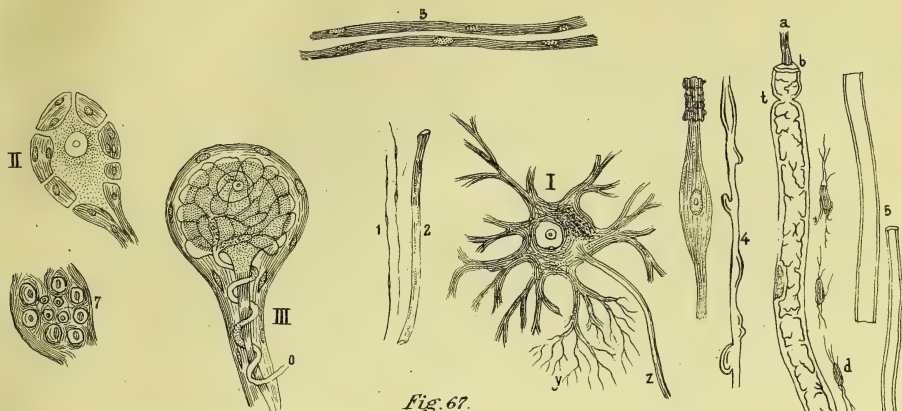
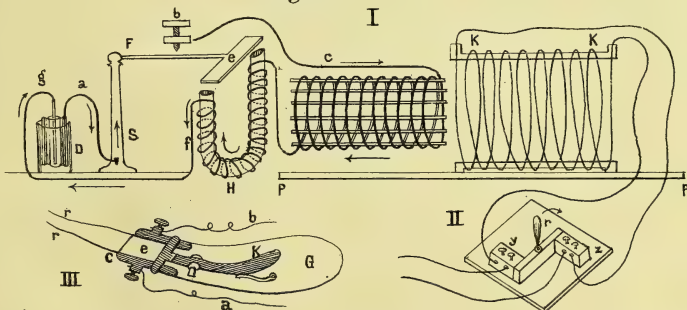


Fig. 67.

1 Primitief-fibrillen ; 2 ascilinder ; 3 vezels van Remak ; 4 merghoudende varicose vezels ; 5, 6 merghoudende vezels met de scheede van Schwann ; c het neutillemma ; t, t, ring van Ramvier ; b merg ; d cellen van het perineurium ; a ascilinder ; x myeline kogels ; 7 doorsnede door een zenuw met duidelijke ascilinders ; merghoudende en perineurium .. I Polypolaire ganglioncellen van het ruugmerg ; z voortzetting van den ascilinder ; y uitloopers van het protoplasma ; rechts een bipolaire ganglioncel. II Periphere ganglioncel met een omhulsel van bindweefsel. III Ganglioncel met daarom-gesponnen vezel ; m omhulsel ; n voortzetting van den ascilinder ; o voortzetting van de omwikkende vezel ..

Fig. 68.



I Schema van den electromotor van Du Bois-Reymond. II Apparaat voor het tetaniseeren .. III Electroden met inrichting tot onderbreking van den stroom ..





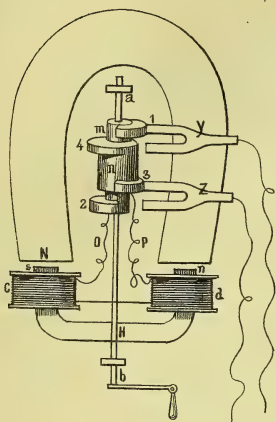
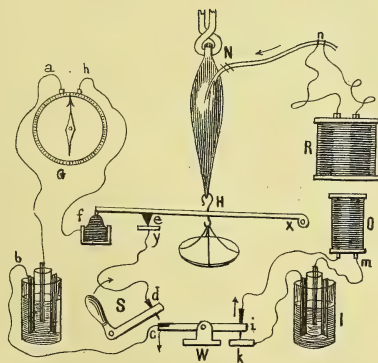


Fig. 69.

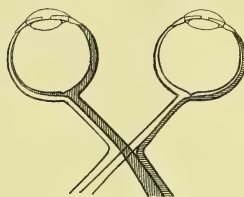
Magneto-inductie apparaat  
met commutator van Störker..

Fig. 70.



Werktuig van Helmholtz voor de bepaling van de  
voortplantings snelheid van den zenuw prikkel..

Fig. 71.



Schema van de halve  
kruising der gezichtszenuwen.



Fig. 72.

Halbschematische voorstelling van den nervus trigeminus en de verbindingen met den nervus facialis en glossopharyngeus. 3 Tak van den nervus oculi-motorius voor den m. obliquus oculi inferior met den dikken kotten wortel (c) voor het ganglion ciliare; t nervi ciliares; l langewortel voor het ganglion ciliare uit den nervus nasociliaris (nc); s sympathische wortel uit de sympathische zenuwlecht (Sy) die bij G de carotis interna omgeeft; d eerste tak van den trigeminus (5) met den n. nasociliaris (nc) en de eindtakken van den n. lacrymalis (a); supraorbitalis (b) en frontalis (f); e tweede tak van den trigeminus; R n. infraorbitalis; n ganglion sphenopalatinum met zijn wortels; j van den facialis en v van den sympathicus;

N neustakken; pp' takken van het ganglion voor het gehemelte; G derde tak van den trigeminus; K n. lingualis;

i. i. chorda tympani; m ganglion oticum met takken voor den n. auriculotemporalis (A) en voor de chorda (ii); L ganglion sublinguale; ? nervus facialis n. petrosus superficialis major; α ganglion geniculi; β tak voor den plexus tympanicus; γ ram. stapedius; δ Anastomose met den n. auricularis vagi; S foramen stylomastoideum; q n. glossopharyngeus; λ Ramus tympanicus; π en ε Verbindingen met den facialis; U eindiging van de smaakzenuw (q) in de papillae circumvallatae;

I, II, III, IV de vier bovenste halozenuwen; P parotis;

M glandula submaxillaris.

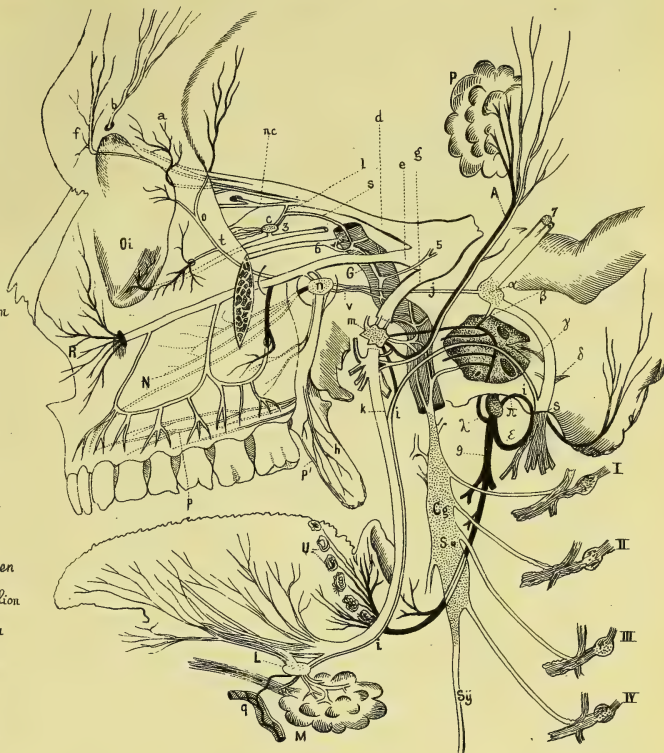
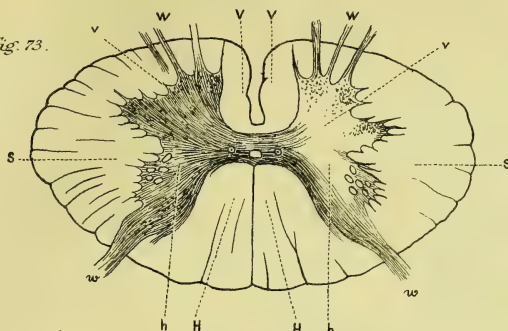


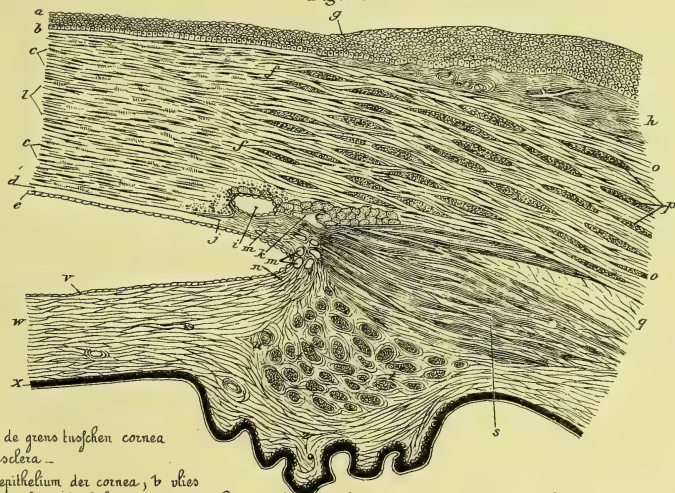


Fig. 73.



Dwarsse doorsnede door het ruggemerg; in het midden de grijze en daaronheen de witte zelfstandigheid; h achterste en v voorste hoornen der grijze zelfstandigheid; ww de achterste wortels, WW de voorste wortels der ruggemergzenuwen; VV de voorste strengen; SS de zijdelingse strengen; HH de achterste strengen.

Fig. 74.

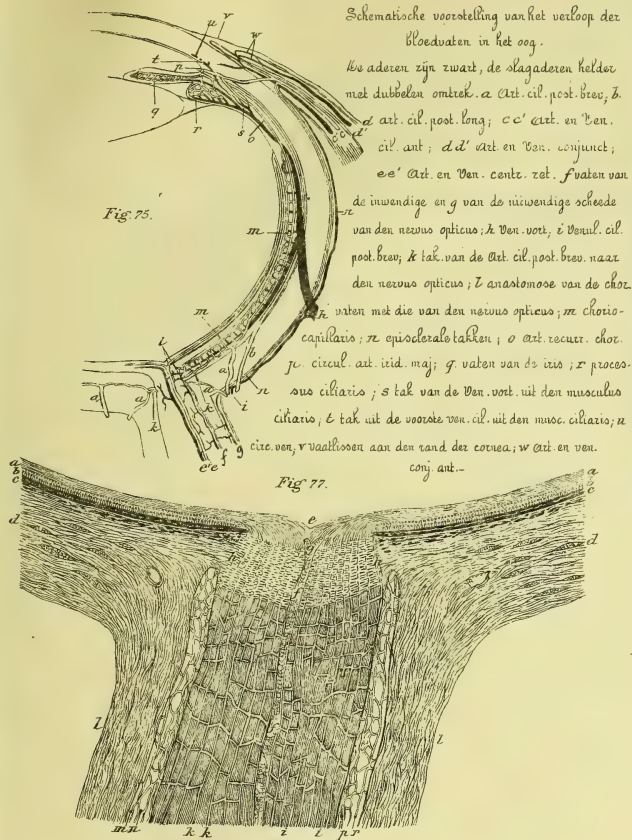


Doorsnede door de grens tusschen cornea en sclera.

a laagsgewijs epithelium der cornea; b vlies van Bowman; c hoornvlieslampaapjes; d lamellen van het hoornvlies (het geheele gedeelte tusschen b en d gelegen is de substantia propria der cornea); e membrana Descemetii; f overgang van de cornea in de sclera; g limbus conjunctivae; h conjunctiva; i kanaal van Schlemm; k aderlechi van Leber; l, m, n in het weefsel van het ligamentum iridis pectinata; o begin van de iris; p overlangsche en r circulaire vezelbundels der sclera; q perichorioïdale ruimte; s radiaire en t circulaire vezels van den musculus ciliaris; u doorsnede van een arteria ciliaris; v endothelium van de iris; w weefsel van de iris; x pigment van de iris; y processus ciliaris.







Schematische voorstelling van het verloop der bloedvaten in het oog.

De aderen zijn zwart, de slagaderen helder met dubbel omteek. *a* Art. cil. post. brev.; *b*

*a* art. cil. post. long; *c c'* art. en Ven.

cil. ant.; *d d'* art. en Ven. conjunct;

*e e'* Art. en Ven. centr. zat. *f* vaten van

de inwendige en *g* van de uitwendige scheede van den nervus opticus; *h* Ven. vort.; *i* Venul. cil.

post. brev.; *k* tak van de Art. cil. post. brev. naar den nervus opticus; *l* anastomose van de chor.

*m* vaten met die van den nervus opticus; *n* chorio-capillaris; *o* episclerale takken; *p* art. recur. chor.

*q* circul. art. iid. maj.; *r* vaten van de iris; *s* proces-sus ciliaris; *t* tak van de Ven. vort. uit den musculus ciliaris; *u*

tak uit de voorste ven. cil. uit den musc. ciliaris; *v* circ. ven. v. vaatlies aan den rand der cornea; *w* art. en ven. conj. ant.

Fig. 77.



Fig. 76.

Bogen van het netvlies

Pi. pigment epitheliumlaag,

St. Staafjes en kegellaag.

Le. membrana limitans

externa;

Lb. gr. uitwendige

korrelaag;

Lb. g. uitwendige

gegranuleerde laag;

Lb. k. inwendige korrel-

laag;

Lb. g. inwendige ge-

granuleerde laag,

Lb. g. laag ganglioncellen;

Lb. v. vezelen van den nervus opticus.

Li. membrana limitans interna;

Lb. v. vezelen van Müller.

Horizontale doorsnede door de gezichtszenuu op de plaats van intrede in den oogbol en door de vliezen van het oog.

*a* inwendige en *b* uitwendige lagen van het netvlies; *c* vaatvlies; *d* sclerotica; *e* physiologische excavatie; *f* arteria centralis retinae; *g* plaats waar deze zenuu zich verdeelt; *h* lamina cribrosa; *i* uitwendige scheede van de duramater afkomstig. *m* uitwendige en *n* inwendige scheedeholte; *r* middelste scheede van de arachnoidea afkomstig; *p* inwendige scheede van de pia mater afkomstig; *i* een bundel zenuuvezels; *k* tusschenschotten van bindweefsel.

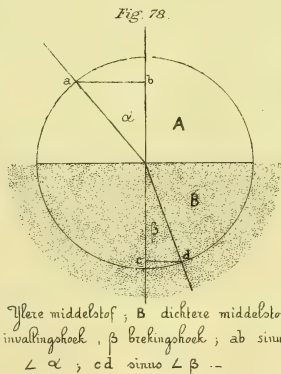
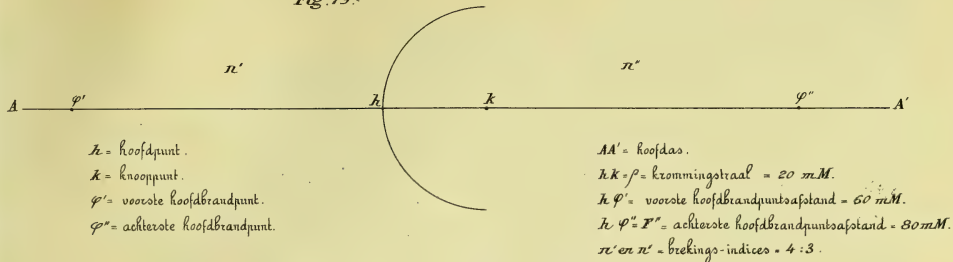


Fig. 78.

A Middelstef, B dichtere middelstef, alpha invalshoek, beta breekingshoek; ab sinus  $\angle \alpha$ ; cd sinus  $\angle \beta$ .



*Fig. 79.*



$h$  = hoofdpunt.

$K$  = knooppunt.

$\varphi'$  = voorste hoofdbrandpunt.

$\varphi''$  = achterste hoofdbrandpunt.

$AA' =$  Roofdas.

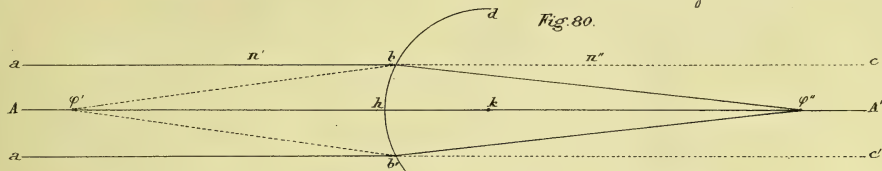
$hK = \rho = \text{krommingstraal} = 20 \text{ m.M.}$

$h\varphi'$  = voorste hoofdbrandpuntsafstand = 60 mm.

$h \varphi'' = F''$  = achterste hoofdbrandpuntsafstand = 80 mm.

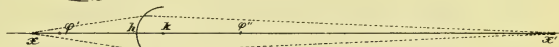
 $\pi' \text{ et } \pi' = \text{brekings-indices} = 4:3.$ 

*Fig. 80.*



Betekenis der letters evenals in Fig. 79.

*Fig. 81.*



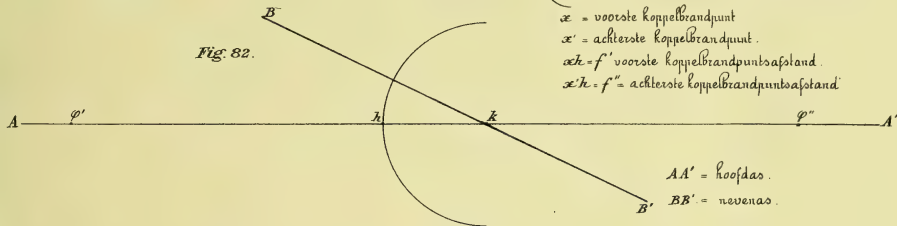
$x$  = voorste koppelbrandpunt

$x'$  = achterste koppelbrandpunt.

$xh = f'$  voorste koppelbrandpuntsafstand

$x'h = f'' =$  achterste koppelbrandpuntsafstand

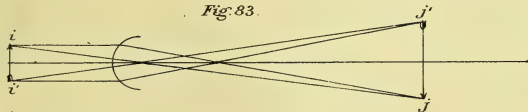
*Fig. 82.*



$AA'$  = hoofdas.

$$BB' = \text{nevenas}$$

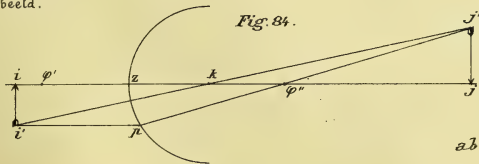
Fig. 83.



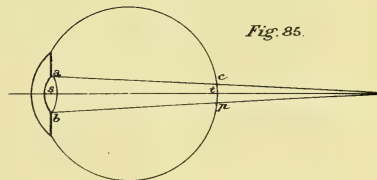
$ii' = \text{voorwerp.}$   
 $jj' = \text{beeld.}$

$jj'$  = beeld.

*Fig. 84.*



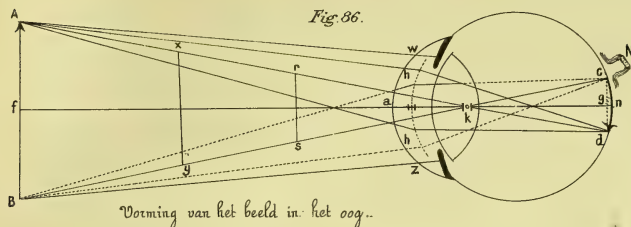
*Fig. 85.*



27. doorsnede van de pupil.

$c_p$ : doorsnede van den verstrooingscirkel.





Vorming van het beeld in het oog..

Horizontale doorsnede door een gedeelte van den oogbol.  
*a* substantia propria corneae; *b* vlies van Bowman;  
*c* epithelium der cornea; *d* membrana Descemeti;  
*e* endothelium; *f* conjunctiva; *g* sclera; *h* iris; *i* sphincter  
 iridis; *j* ligamentum iridis pectinatum; *k* kanaal van  
 Schlem; *l* radii *z* en *m* circulaire spiervezelen van  
 den musculus ciliaris; *n* processus ciliaris; *o* pars  
 ciliaris retinae; *q* kanaal van Petit; *r* zonula  
 Lini; *p* hyaloidea; *r* voorste gedeelte en *s*  
 achterste gedeelte van het lensoeuvring; *t* chorioidea;  
*u* perichorioideale ruimte; *T* pigment epithelium  
 van de iris; *x* rand van de lens (aequator).

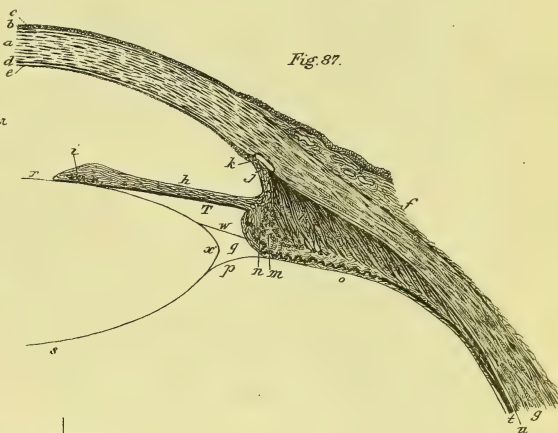


Fig. 87.

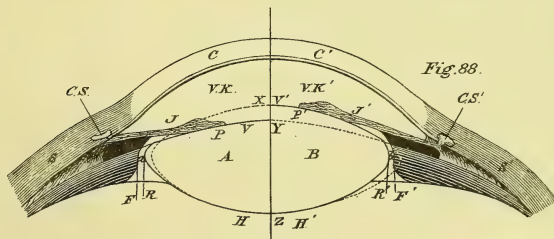


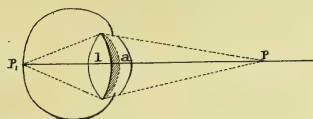
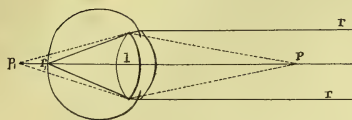
Fig. 88.

Schema van het tot stand komen der accommodatie. *A* linker *B* rechter helft van de lens; *C* cornea;  
*S* sclera; *CS* kanaal van Schlem; *VK* Voorste oogkamer; *J* iris; *P* rand van de pupil; *V* voorvlakte  
 van de lens; *H* achtervlakte van de lens; *R* rand van de lens; *F* rand van den processus ciliaris;  
*a* en *b* ruimte tussen deze beiden; *ZX* dikte van de lens bij inspanning der accommodatie; *ZY* dikte van  
 de lens bij rust der accommodatie..



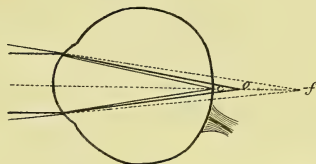
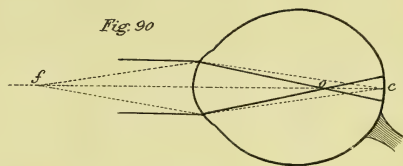


Fig. 89.



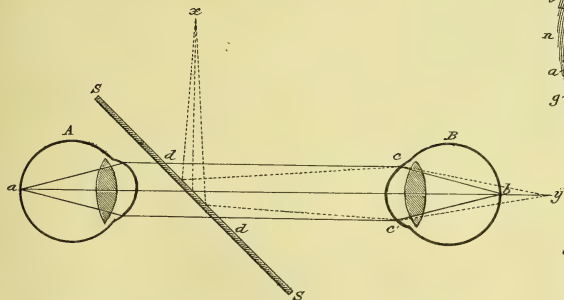
Brekings-toestand van het normale oog by ontspanning en by inspanning van de accommodatie ..

Fig. 90



Brekings-toestand van het myopische en het hypermetropische oog..

Fig. 91



Vertikting van den achtergrond van het oog door den oogspiegel ..

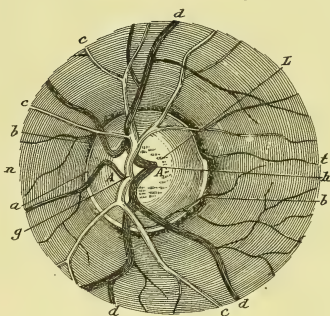
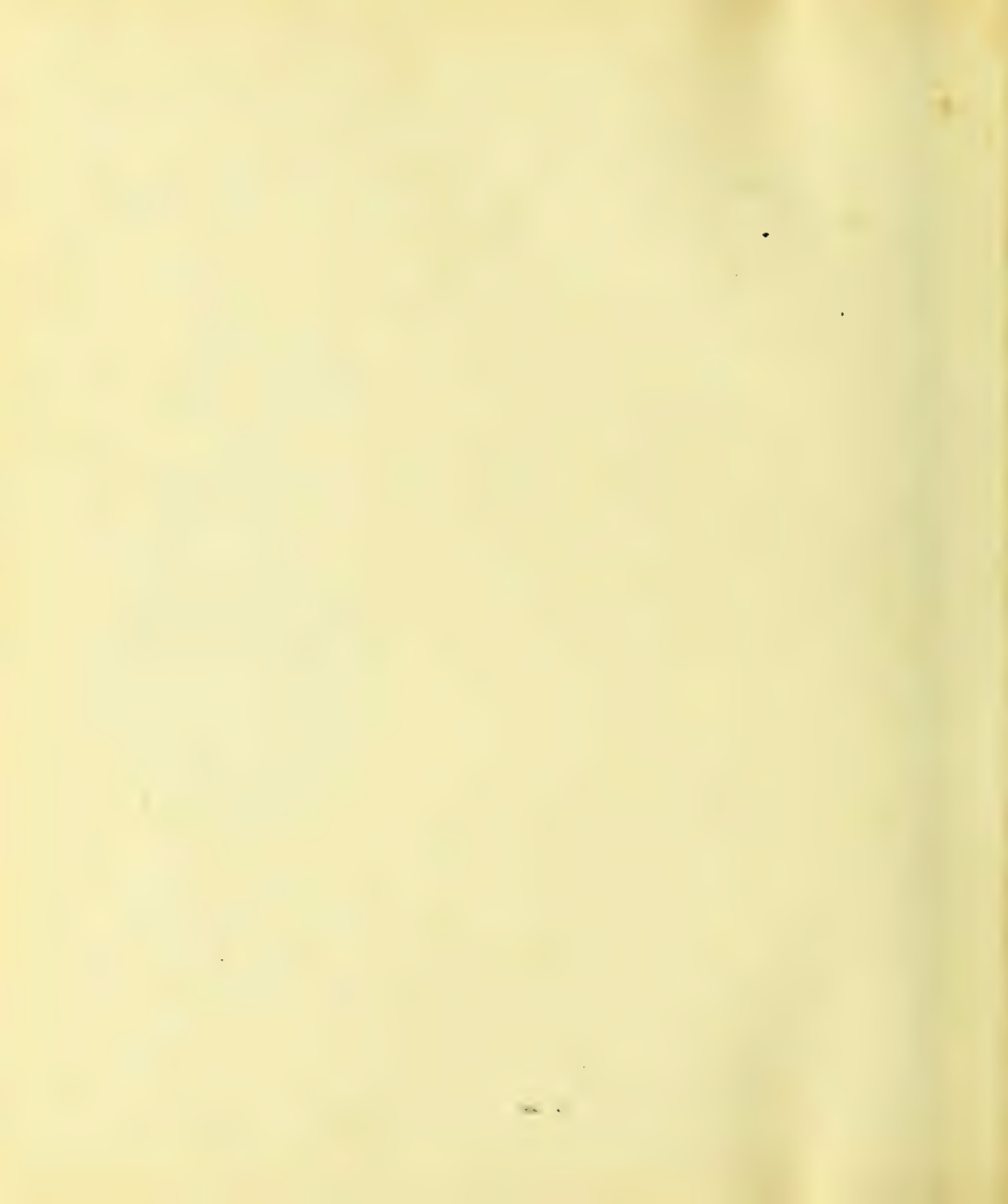


Fig. 92.

Plaats van intrede van den nervus opticus met den achtergrond van het oog. A papilla nervi optici; a ring van bindweefsel; b chorioideaalring; c slagadoren; d aderen; g plaats waar de arteria centralis retinae zich in haar takken verdeelt; h verdeelingsplaats van de vena centralis retinae; l lamina cribrosa; t buitenzijde en n binnenzijde ..



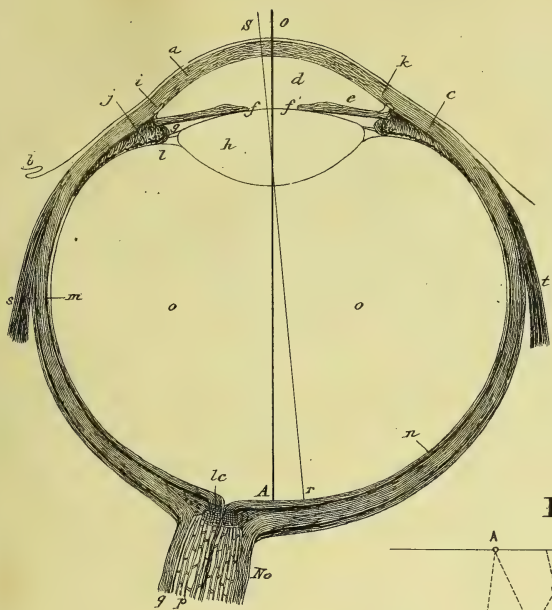
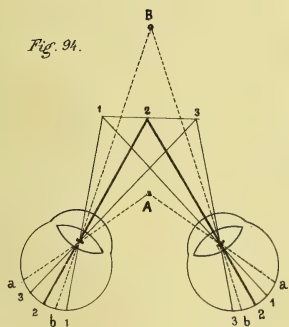


Fig. 93.

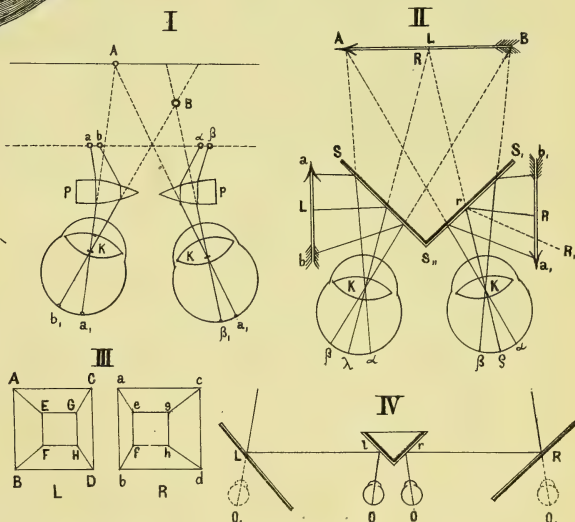
Horizontale doorsnede door het rechteroog. *a* Corne. *b* conjunctiva; *c* sclera; *d* voorste oogkamer; *e* iris; *ff* pupil; *g* achterste oogkamer; *l* zonula Zinnii; *j* musculus ciliaris; *k* grens tusschen de cornea en sclera; *i* kanaal van Schlemm; *m* chorioidea; *n* retina; *o* glasachtig lichaam; *No* gezigtstonnus; *g* zenuwscheede; *r* zenuwvezels; *lc* reesplaat; *r* fovea centralis; *OA* optische as; *Str.* gezichtsas ..

Fig. 95.

Fig. 94.



Schema van de identische en de niet-identische netvliespunten..



I Schema van den Stereoskoop van Brewster.

II idem idem idem idem Wheatstone.

III Twee Stereoskopische teekeningen.

IV Stereoskoop van Helmholtz.



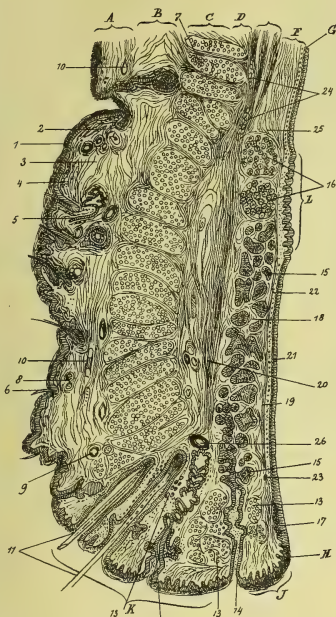


Fig. 96.

Vertikale doorsnede door het bovenste ooglid.

A cutis; 1 epidermis; 2 corium; B en 3 onderhuids bindweefsel;  
C en 7 musculus orbicularis; D los bindweefsel onder de spieren;  
F tarsus; G conjunctiva; J binnenkant van den ooglidrand;  
X buitenkant van den ooglidrand; 4 pigmentcellen in de cutis;  
5 zweetklieren; 6 haarrafjes en haren; 8 en 23 doorsneden van zenuwen;  
9 slagadert; 10 aderen; 11 oogkaren; 12 veranderde zweetklieren; 13 musculus  
ciliaris Biolani; 14 opening van een Meibom'sche klier; 15 doorgeene.

den acini van een Meibom'sche klier; 16 achterste tarsaalklieren;

18 en 19 weefsel van den tarsus; 20 onderlijmliedsbindweefsel; 17, 21 en 22

conjunctiva met epithelium; 21 vetweefsel; 26 doorsnede door een  
arteria palpebralis..

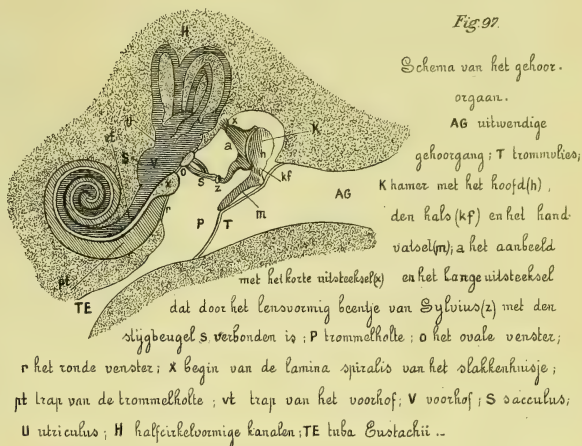
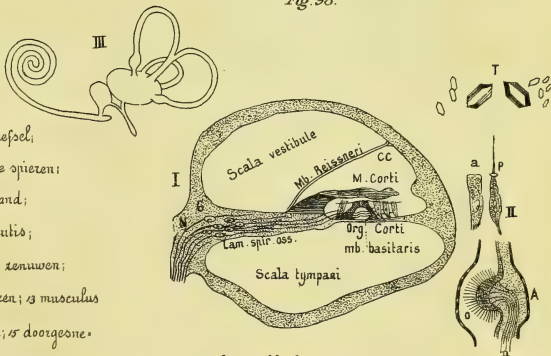


Fig. 97

Schema van het gehoor-  
orgaan.

AG uitwendige  
gehoorgang; T trommelkies;  
K hamar met het hoofd(h),  
den halo (kf) en het hand-  
vat (m); a het aanbeeld  
met het korte wiststeeksel en het lange wiststeeksel  
dat door het lensvormig beenje van Sylvius(z) met den  
slijgbeugel S verbonden is; P trommelholte; o het ovale venster;  
r het ronde venster; X begin van de lamina spiralis van het slakkenhuisje;  
pt trap van de trommelholte; vt trap van het voorschof; V voorschof; S sacculus;  
U utriculus; H halfcirkelvormige kanalen; TE tuba Eustachii ..

Fig. 98.



I Doorsnede door het slakkenhuisje;

II A ampulla met de crista acustica; a p een cel en  
gehoorborstel uit de ampulla; T gehoorsteentjes of otolithen;

III Schema van het labyrinth van den mensch..



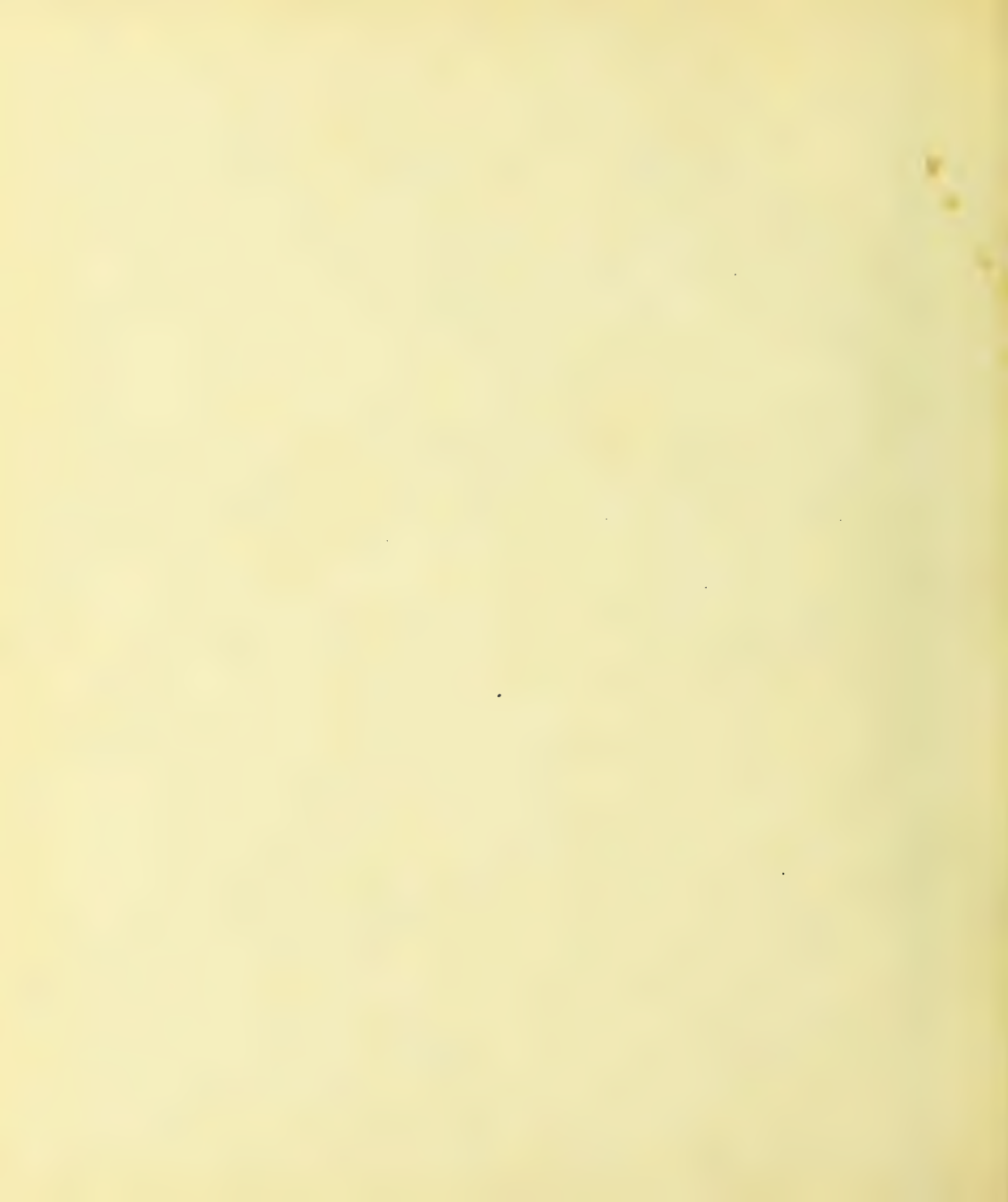
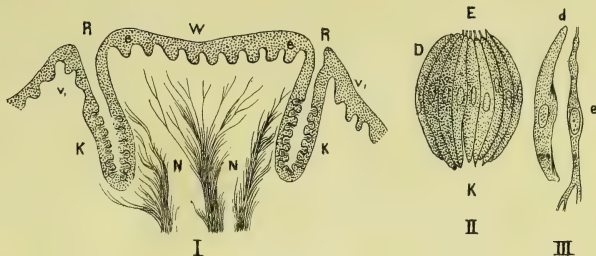


Fig. 99.



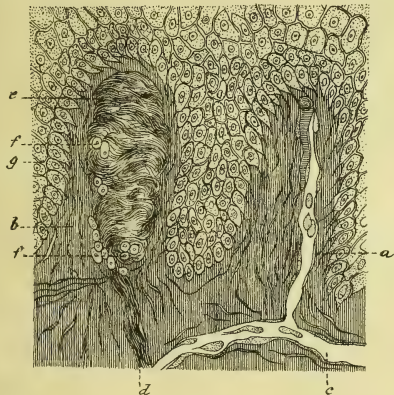
N Reukcellen van den mensch;  
E epithelium van de regio olfactoria..

Fig. 100.



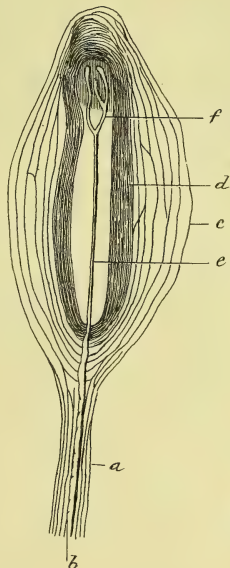
I Doorsnede door een papilla circumvallata; W de papilla; vv' de wal;  
RR de ringvormige spleet; KK de smaaklepfjes; NN de zenuwen;  
II Geïsoleerde smaaklepfjes; D bedekkende cellen; K onderste uiteinde;  
E bovenste vrije opening met de daaruitstekende smaakcellen..  
III Geïsoleerde bedekkende cel (d) en smaakcel.

Fig. 101.



a Vaatpapilla; b tastpapilla; c bloedvat; d zenuwvezel;  
e tastlichaampjes; f doorgesneden zenuwvezels;  
g cellen van het rete testis.

Fig. 102.



Lichaampje van Vater  
of van Pacini.  
a Steel;  
b zenuwvezel;  
c omhulsel van bindweefsel;  
e ascilinder met verdeeld  
uiteinde (f) ..













